

بهبود چسبندگی پوشش اپوکسی روی زیرآیند آلمینیم با استفاده از ترکیبات سیلان

Adhesion Improvement of Epoxy Coating on Aluminium Substrate Using an Amino-Silane Compound

محسن محسنی^۱، مجتبی میرعبدیینی^{*}، خشایار شامردانی^۱

۱- تهران، دانشگاه صنعتی امیرکبیر، دانشکده پلیمر و رنگ، صندوق پستی ۱۴۸۷۵/۴۴۱۲

۲- تهران، پژوهشگاه پلیمر و پتروشیمی ایران، گروه رنگ و روکشهای سطح، صندوق پستی ۱۴۹۶۵/۱۱۵

دریافت: ۸۱/۹/۲۵، پذیرش: ۸۲/۲/۱۳

چکیده

در این پژوهش، با استفاده از ترکیب آمینو پروپیل تری متوكسی سیلان به عنوان بهبود دهنده چسبندگی، پیش عمل آوری یا آماده‌سازی سطح آلمینیم الیافی، ۱۰۵۰، قبل از اعمال پوشش اپوکسی بررسی شد. همچنین، با اندازه‌گیری زاویه تماس به روش ایستا، قابلیت ترشدن سطح نمونه‌های آماده‌سازی شده با سیلان و با طیف سنجی زیرقرمز انتقال فوریه برهم‌کنشهای شیمیایی بین لایه سیلان و سطح آلمینیم بررسی شد. استحکام چسبندگی در حالت‌های خشک، تر و بازیافتی با استفاده از روشهای پرش مقاطع و جدایش کشنشی بررسی و با نمونه‌های کرومات دار شده مقایسه گردید. نتایج اندازه‌گیری کشش سطحی افزایش نسبی در قابلیت ترشدن سطح نمونه‌های آماده‌سازی شده با سیلان را نشان می‌دهد که ناشی از افزایش قطبیت سطح است. نتایج طیف سنجی FTIR وجود پیک جذبی در ناحیه 992cm^{-1} مربوط به پیوند Si-O-Al و ناحیه 1100cm^{-1} مربوط به پیوند Si-O-Si را نشان می‌دهد. با استفاده از ترکیبات سیلان برای آماده‌سازی سطح، بهبود قابل توجهی در چسبندگی خشک، تر و بازیافتی نسبت به نمونه رسوب‌زدایی شده و نمونه کرومات دار شده مشاهده گردید که با توجه به نتایج بررسی قابلیت ترشدن و نتایج طیف سنجی می‌توان این امر رابه احتمال برقراری پیوندهای شیمیایی و مکانیکی بین لایه سیلان با سطح آلمینیم و پوشش اپوکسی نسبت داد.

واژه‌های کلیدی

ترکیب آمینو سیلان، آلمینیم، استحکام چسبندگی، پوشش اپوکسی، پیش عمل آوری سطح

مقدمه

(به صورت اکسیدی) پس از فولاد بیشترین مصرف را در میان سایر فلزات دارد [۱]. سطح تازه آلمینیم وقتی در شرایط جوی قرار می‌گیرد، بی‌درنگ لایه اکسیدی با ضخامت بین ۲-۳ نانومتر روی آن تشکیل می‌شود [۱]. لایه اکسید طبیعی در شرایط

فلز آلمینیم به علت دارا بودن خواصی مانند سبکی، استحکام، مقاومت در برابر خوردگی در شرایط جوی و مقاومت در برابر بسیاری از مواد شیمیایی، آسانی شکل‌پذیری، رسانایی گرمایی و الکتریکی بسیار خوب، حداقل بودن میزان سمیت در مقایسه با سایر فلزات و رنگ پذیری

Key Words

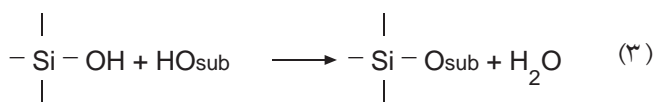
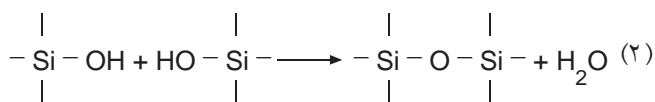
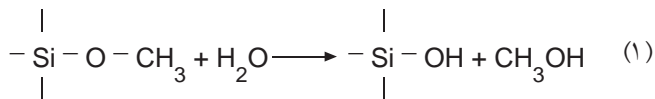
amino silane compound, aluminium, adhesion strength, epoxy coating, surface pretreatment

جدول ۱- بهبود دهنده‌های چسبندگی تجاری سیلان [۱۸].

نام شیمیایی	ساختار
کلروپروپیل تری متوكسی سیلان	$\text{Cl}(\text{CH}_2)_3\text{Si}(\text{OCH}_3)_3$
وینیل تری اتوکسی سیلان	$\text{CH}_2=\text{CHSi}(\text{OC}_2\text{H}_5)_3$
متاکریلوکسی پروپیل تری متوكسی سیلان	$\text{CH}_2=\text{C}(\text{CH}_3)-\text{CO}-\text{O}(\text{CH}_2)_3\text{Si}(\text{OCH}_3)_3$
آمینوپروپیل تری اتوکسی سیلان	$\text{NH}_2(\text{CH}_2)_3\text{Si}(\text{OC}_2\text{H}_5)_3$
مرکاپتو پروپیل تری متوكسی سیلان	$\text{HS}(\text{CH}_2)_3\text{Si}(\text{OCH}_3)_3$

ترکیبات هم مقاومت در برابر خوردگی را افزایش می‌دهند و هم چسبندگی لایه روکش به سطح فلز را بهبود می‌بخشند [۱۰، ۱۱]. روش‌های دیگری نیز به عنوان جایگزین سیستمهای بر پایه کروم پیشنهاد شده‌اند که از آن جمله می‌توان به پوششهای تبدیلی بر پایه فلرات کمیاب پوسته زمین (سریم) [۱۲]، لایه‌های غنی از اکسید کالت [۱۳]، پوششهای تبدیلی بر پایه منگنز اکسید [۱۴] و مولیبدیم اکسید [۱۵]، پوششهای تبدیلی بر پایه کروم سه ظرفیتی [۱۶، ۱۷] و آماده‌سازی سطح با بهبود دهنده‌های چسبندگی سیلان اشاره کرد [۱۸-۲۹].

سیلانها دارای ساختار شیمیایی $\text{R}'\text{Si}(\text{OR})_3$ هستند که OR یک گروه متوكسی یا اتوکسی و R' معمولاً زنجیر هیدروکربنی با یک گروه انتهایی ویژه مانند آمینو، گالیسیدوکسی، وینیل یا آکریلیک (متاکریلوکسی) است. بعضی از سیلانهایی که به شکل تجاری موجودند در جدول ۱ آمده‌اند. به علت دو عاملی بودن، سیلانها قادر به انجام پیوندهای شیمیایی با گروههای فعال موجود بر سطح زیرآیند و گروههای فعال مربوط به پوشش‌اند. بنظر می‌رسد مکانیسم چسبندگی شامل آبکافت (هیدرولیز) گروههای آلکوکسی برای تشکیل گروههای سیلانول (واکنش ۱)، واکنشهای تشکیل ساختار سیلانکسان (واکنش ۲) و سرانجام برقراری پیوند شیمیایی بین ترکیب سیلانول با گروههای هیدروکسیل موجود روی سطح زیرآیند (واکنش ۳) باشد [۱۸، ۱۹].



خورنده ملایم ($\text{pH} = ۵-۹$) از سطح آلومینیم حفاظت می‌کند. اما، این لایه در شرایط حاد خورنده از مقاومت کافی برخوردار نیست. همچنین، این لایه زمینه مناسبی برای بکار بردن پوششهای پلیمری روی آن بشمار نمی‌رود. ضعف چسبندگی از عواملی است که موجب می‌شود یک لایه پوششی به تنها برای حفاظت از سطح آلومینیم در برابر عوامل خورنده کافی نباشد [۲]. پوششهای تبدیلی معدنی بر پایه کرومات از جمله ترکیبات شناخته شده‌ای هستند که برای بهبود چسبندگی و همچنین افزایش مقاومت در برابر خوردگی فلز استفاده می‌شوند [۳]. اما نکته حائز اهمیت این است که ترکیبات کروم دار دارای قدرت انحلال پذیری زیاد و خاصیت اکسیدکنندگی شدید هستند، بطوری که یون کروم (VI) از جمله مواد سمی و سرطان‌زا محسوب می‌شود. در حال حاضر کاربرد این ترکیبات در بسیاری از کشورهای صنعتی ممنوع شده است [۴].

پژوهش‌های بسیاری برای جایگزینی این ترکیبات با سایر مواد زیست سازگار و کم خطر صورت پذیرفته است [۵-۱۷]. یکی از این فرایندها استفاده از ترکیبات بر پایه فلراتی مانند زیرکونیم و تیتانیم برای ایجاد لایه نفوذ ناپذیر با مقاومت اهمی زیاد روی سطح است [۵]. در روش دیگر، استفاده از لایه‌های نازک مواد پلیمری بر پایه آکریلاتها توصیه و ادعا شده است که وجود لایه تک مولکولی پلیمر روی سطح موجود روی سطح آلومینیم می‌شود [۶, ۷]. همچنین، استفاده از ترکیبات فعال در سطح با گروههای انتهایی فسفریک اسید نیز پیشنهاد شده است. این ترکیبات از راه انجام واکنشهای اسید - باز جذب سطح شده و چسبندگی را افزایش دهند [۸]. یک روش دیگر، بکار بردن پوششهای تبدیلی تالک است که مکانیسم عملکرد این ترکیبات، ایجاد پوشش به وسیله رسوب دارای یونهای CO_3^{2-} , OH^- , Li^+ , Al^{3+} روی سطح فلز است [۹]. استفاده از مخلوط فلوروراسیدهای معدنی و پلیمرهای آکریلاتی نیز به عنوان زیر لایه آلی - معدنی توصیه شده است. این

آلومینیم ارak، آمینو پروپیل تری متوكسی سیلان از شرکت شیمیایی الدریچ با غلظت ۹۷ درصد و پوشش اپوکسی ۱۰۰ درصد جامد با سخت کننده پلی آمینی از شرکت شیمیایی سمن تهیه شد. سایر مواد شیمیایی مورد استفاده از نوع آزمایشگاهی و با خلوص بالا بودند. فرمول شیمیایی آمینو پروپیل تری متوكسی سیلان به شکل $\text{NH}_2(\text{CH}_2)_3\text{Si}(\text{OCH}_3)_3$ است.

دستگاهها

قابلیت ترشدن نمونه های آماده سازی شده با اندازه گیری زاویه تماس به روش ایستا با دستگاه Kruss مدل G ۲۰۴۰ معین شد. برای بررسی برهم کنش شیمیایی بین اکسید فلز و لایه سیلان از دستگاه FTIR-ATR IFS ۴۸۴ مدل Pull-off از شرکت اریکسون استفاده شد.

روشها

آماده سازی نمونه ها

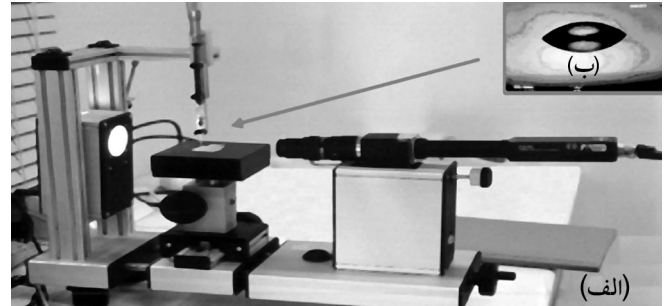
ابتدا نمونه هایی از آلومینیم به ابعاد $5 \times 10 \text{ cm}$ تهیه و سپس با استفاده از محلول شوینده و سپس حلال استون و باروش غوطه وری سنتشیو آنها انجام شد. با استفاده از محلول سود سوزآور ۵ درصد وزنی در آب مقطر و در دمای $5^\circ\text{C} \pm 5^\circ\text{C}$ به مدت ۳ دقیقه، برداشتن لایه اکسید طبیعی انجام گرفت. برای زدودن رسوبات سطحی لجنی شکل ناشی از عمل حک شیمیایی، نمونه ها در محلول ۵۰ درصد حجمی نیتریک اسید در آب مقطر در دمای محیط به مدت ۱ دقیقه قرار گرفتند. میان مراحل مختلف آماده سازی شنتشو و آبکشی نمونه ها با آب مقطر انجام شد. سپس برای ایجاد لایه اکسید طبیعی یکنواخت، نمونه ها به مدت ۲۴ ساعت در محیط قرار گرفتند [۱].

ایجاد لایه سیلان

مخلوط های ۱:۵ و ۲ درصد وزنی آمینو پروپیل تری متوكسی سیلان در مخلوط ۱:۴ وزنی می تانوی: آب مقطر آماده گردید. برای یکنواختی بهتر و آبکافت کامل، مواد یاد شده به مدت ۱ ساعت به کمک همزن مغناطیسی مخلوط گردید. نمونه های آماده سازی شده در مخلوط های سیلان به مدت ۲ دقیقه غوطه ور شدند و سپس در دمای محیط و شرایط کنترل شده (در داخل محفظه بسته) به مدت ۲۴ ساعت قرار گرفتند.

پوشش دهنده

ابتدا دو جزء رزین و سخت کننده پوشش اپوکسی با نسبت ۱:۲ مخلوط گردید و پوشش اپوکسی با استفاده از فیلم کش و با ضخامت یکنواخت



شکل ۱- اندازه گیری زاویه تماس قطره روی زیرآیند به روش ایستا: (الف) نمایی از دستگاه اندازه گیری زاویه تماس و (ب) شکل قطره روی زیرآیند آماده سازی شده.

مکانیسم بهبود چسبندگی بر اساس تشکیل ساختار سیلوکسان بیان می شود. گروههای عاملی باقیمانده R در ساختار سیلوکسان نیز در حین تشکیل فیلم می توانند با گروههای عاملی مناسب پوشش واکنش دهند که این امر باعث ایجاد پیوندهای پایدار برای ایجاد چسبندگی مورد نیاز بین زیرآیند و پوشش می شود [۱۸، ۱۹]. عامل پیوند دهنده گروههای آمین برای واکنش با رزینهای اپوکسی و پلی یورتانها مناسب است. بنابراین، برای حصول نتیجه بهتر، عامل پیوند دهنده سیلان باید با گروههای عاملی پوشش سازگار باشد. سیلانها را می توان به دو شکل آستری آماده سازی یا به عنوان ماده افزودنی در فرمولیندی پوشش بکار برد [۲۲، ۲۳]. هر دو روش مزایا و معایبی دارند. روش آماده سازی سطح این مزیت اصلی را دارد که می توان برای بدست آوردن چسبندگی بهینه از سیلان خاصی برای ترکیبی معین از زیرآیند و پوشش استفاده کرد، اما عیب روش یاد شده این است که برای اعمال پوشش یک مرحله دیگر نیز باید در نظر گرفت. وجود برهم کشتهای بالقوه بین حلال، رزین و سیلان و نیز آثار برهم کنش سیلان و رنگدانه، از جمله مشکلاتی است که در استفاده از سیلانها به عنوان ماده افزودنی در فرمولیندی پوشش وجود دارد. هدف از انجام این پژوهش، بررسی اثر آمینوسیلانها به شکل یک روش آماده سازی سطح آلومینیم با آلیاژ ۱۰۵۰ به عنوان بهبود دهنده چسبندگی قبل از اعمال پوشش اپوکسی است. بدین منظور سطح آلومینیم با استفاده از محلول سیلان APS آماده سازی شد و سپس پوشش اپوکسی بدون رنگدانه روی آن اعمال گردید. آثار لایه سیلان روی مقدار انرژی سطحی و تغییرات بوجود آمده در گروههای عاملی و چسبندگی پوشش اپوکسی بررسی شد.

تجربی

مواد

ورقهای آلومینیم آلیاژ سری ۱۰۵۰ با ضخامت mm ۰/۵ از شرکت

جدول ۳- زوایای تماس ایستای مایعات مختلف روی سطوح آماده‌سازی شده.

روش آماده‌سازی		مایع بکار رفته
با محلول سیلان	رسوب زدایی شده	
۴۳/۸	۶۸/۷	آب
۶۲/۱	۷۲/۵	گلیسیرین
۴۶/۲	۶۲/۶	فرمamید
۲۶/۴	۳۳/۶	بنزیل الکل

کششی صورت گرفت. آزمون به این ترتیب انجام شد که ابتدا با استفاده از چسب فوری سیانوآکریلات، گیره مخصوص آزمون (dolly) روی نمونه پوشش یافته چسبانیده می‌شود. پس از خشک شدن کامل چسب (حدود ۲ ساعت)، گیره در محل مخصوص دستگاه قرار می‌گیرد و سپس اعمال نیرو با چرخانیدن پیچ دستگاه شروع می‌شود. اعمال نیروی یکنواخت تا جدا شدن تمام یا قسمتی از سطوح به هم چسبیده یارسانیدن به نیروی مشخصی ادامه پیدا می‌کند. در مورد نمونه‌های مورد بررسی در این پژوهش، اعمال نیرو تا جدا شدن کامل نمونه‌ها از سطح ادامه یافت.

نتایج و بحث

آزمون کشش سطحی

اندازه گیری کشش سطحی نمونه‌های آماده‌سازی شده با تعیین زوایای تماس مایعات مختلف شده باید دارای اجزای قطبی و پراکنده باشند و محدوده وسیعی از انرژی سطحی را شامل شوند. در جدول ۲ نام و مشخصات مایعات بکار رفته در این آزمون آورده شده است.

نتایج اندازه گیری زاویه تماس به روش ایستا با چهار بار تکرار در جدول ۳ آورده شده است. زاویه تماس همیشه با زمان کاهش می‌یابد که ناشی از نفوذ مایع به سطح آلومینیم دارای فیلم و همچنین تبخیر قطره است. برای به حداقل رساندن خطای آزمایش، اندازه گیریها ۹۰ ثانیه پس از قرار گرفتن قطره‌ها روی سطوح انجام گرفت. با وجود اینکه انرژی سطحی گلیسیرین از آب کمتر است، ولی به علت گرانزویی زیاد آن، زوایای تماس گلیسیرین روی نمونه‌ها از زوایای تماس آب بزرگتر است.

جدول ۲- کشش سطحی مایعات مورد آزمایش بر حسب .mN/m

مایع	کشش سطحی (γ)	جزء پراکنده (γ^D)	جزء قطبی (γ^P)
آب	۷۲/۸	۲۱/۸	۵۷۰
گلیسیرین	۶۳/۴	۳۷/۰	۲۶/۴
فرمamید	۵۸/۲	۲۸/۷	۲۹/۵
بنزیل الکل	۳۸/۹	۳۰/۲	۸/۷

۳۰ روی سطح نمونه‌ها اعمال شد و سپس نمونه‌ها به مدت ۱ هفته در محیط قرار گرفتند تا فرایند تشکیل فیلم اپوکسی بطور کامل انجام گیرد.

آزمون اندازه گیری کشش سطحی انرژی سطحی نمونه‌های آلومینیمی آماده‌سازی شده با استفاده از ترکیب سیلان دار به روش ایستا اندازه گیری شد. در این روش، نمونه مورد آزمایش روی محل نگه دارنده قرار داده شد. سپس، مایعات مختلف با انرژی‌های سطحی متفاوت با استفاده از سرنگ مخصوص و با حجم حدود 0.5 mL روی سطح نمونه قرار داده شدند. زاویه بین خط مبنای هر قطره و خط مماس بر آن از روی تصویر بزرگ شده قطره در صفحه نمایشگر معین شد. در شکل ۱، تصویر کلی دستگاه و شکل قطره روی سطح نمونه نشان داده شده است.

آزمون FTIR-ATR

از سطح آلومینیم آماده‌سازی شده با محلول سیلان با غلظت ۲۰ درصد وزنی طیف FTIR-ATR برداشت شد.

آزمونهای چسبندگی

آزمون برش متقطع (cross-cut): چسبندگی در حالتهای خشک و تر طبق استاندارد ASTM D3359 اندازه گیری شد. برای بررسی چسبندگی در حالت تر، نمونه‌ها به مدت ۱۰۰۰ ساعت در محفظه رطوبت قرار داده شدند و بلا فاصله بعد از این مدت آزمون برش متقطع صورت گرفت.

آزمون جدایش کششی (pull-off): چسبندگی در حالتهای خشک، تر و بازیافتی بر طبق استاندارد ASTM D4541 اندازه گیری شد. برای بررسی چسبندگی در حالت تر، نمونه‌ها به مدت ۵۰۰ ساعت در محفظه رطوبت قرار داده شدند و بلا فاصله بعد از این مدت آزمون جدایش

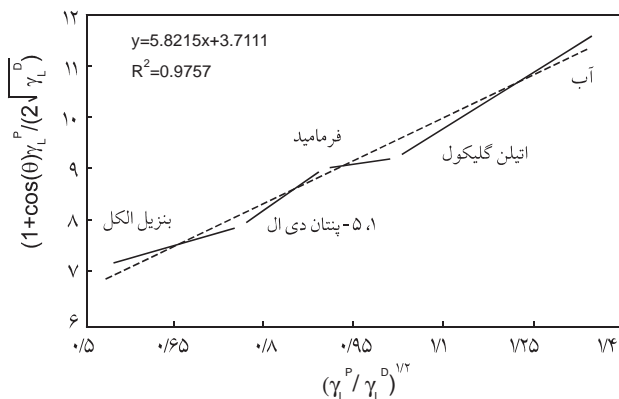
ملاحظه می شود با اعمال لایه سیلان تغییرات قابل توجهی در جزء قطبی انرژی سطحی بوجود می آید. بنظر می رسد این تغییرات در نتیجه ایجاد گروههای قطبی روی سطح زیرآیند باشد.

در نتیجه آماده سازی نمونه ها با محلول سیلان زوایای تماس کاهش می یابد که ناشی از افزایش نسبی در میزان قابلیت ترشدن زیرآیند است. دلیل این امر را می توان به وجود گروههای قطبی از قبیل NH_2 روی سطح آلومینیم نسبت داد [۲۷]. بهبود خاصیت ترشدن سطح تها به معنای افزایش تماس فیزیکی بین پوشش و زیرآیند است که به تهایی دلیلی برای افزایش چسبندگی پوشش به زیرآیند محسوب نمی شود. افزایش قابلیت ترشدن شرط لازم برای چسبندگی است اما برای ایجاد استحکام کافی چسبندگی شرط کافی نیست.

آزمون FTIR-ATR

در شکل ۳ طیف FTIR-ATR تهیه شده از نمونه آماده سازی شده با محلول سیلان نشان داده شده است. وجود پیک جذبی در ناحیه 993cm^{-1} را می توان به پیوند Al-O-Si [۲۸] و وجود پیکهای جذبی در نواحی 770 و 1100cm^{-1} می تواند مربوط به پیوند Si-O-Si باشد [۱۸، ۱۹]. افزون بر این، پیکهای دوگانه در نواحی 1475 و 1580cm^{-1} را نیز می توان به گروه NH_2 پروتون دار مربوط دانست [۲۸، ۲۹].

ملاحظه می شود که طبق مباحث قبلی علاوه بر ایجاد شبکه سیلوکسان روی سطح آلومینیم، پیوند شیمیایی بین لایه سیلان و سطح آلومینیم نیز برقرار شده است که این امر باعث افزایش چسبندگی پوشش به زیرآیند به مقدار قابل توجهی می شود. با توجه به نتایج بدست آمده از آزمون تعیین قابلیت ترشدن و نتایج طیف سنجی FTIR-ATR می توان پیش بینی کرد که چسبندگی پوشش اپوکسی به سطح آلومینیم افزایش می یابد، یعنی شرط لازم و کافی برای ایجاد استحکام کافی برای



شکل ۲ - چگونگی محاسبه انرژی سطحی و اجزای آن برای سطح آلومینیم رسوب زدایی شده به روش آونز و همکاران.

جدول ۴ - نتایج محاسبه مقدار انرژی سطحی بحرانی و انرژی سطحی به روشهای زیسمن و آونز.

روش آماده سازی	روش زیسمن (mN/m)			روش آونز (mN/m)
	γ_C	γ^D	γ^P	
رسوب زدایی شده	۲۵/۳	۱۴/۸	۱۷/۳	۳۲/۱
با محلول سیلان	۲۵/۴	۵/۷	۴۹/۶	۵۵/۳

تعیین انرژی سطحی

انرژی سطحی مواد جامد بطور غیر مستقیم از طریق اندازه گیری زوایای تماس برای مایعات مورد آزمون انجام می شود. روشهای مختلفی برای تعیین انرژی سطحی ارائه شده است [۲۵] که انتخاب روش وابسته به نوع و خصوصیات سطح و مایعات مورد آزمون است. در این پژوهش، برای ارزیابی قابلیت ترشدن نمونه های آماده سازی شده از روشهای زیسمن و آونز - ویندت [۲۶] استفاده گردید. در روش زیسمن پارامتر تحریبی انرژی سطحی بحرانی (γ_C) اندازه گیری می شود که می توان از آن به عنوان معیاری برای ارزیابی قابلیت ترشدن سطح استفاده کرد. γ_C یک جامد از لحاظ نظری مربوط به زاویه تماس صفر درجه است که ترشدن کامل صورت می گیرد. در جدول ۴ مقادیر انرژی سطحی بحرانی معین شده برای نمونه های مختلف آورده شده است.

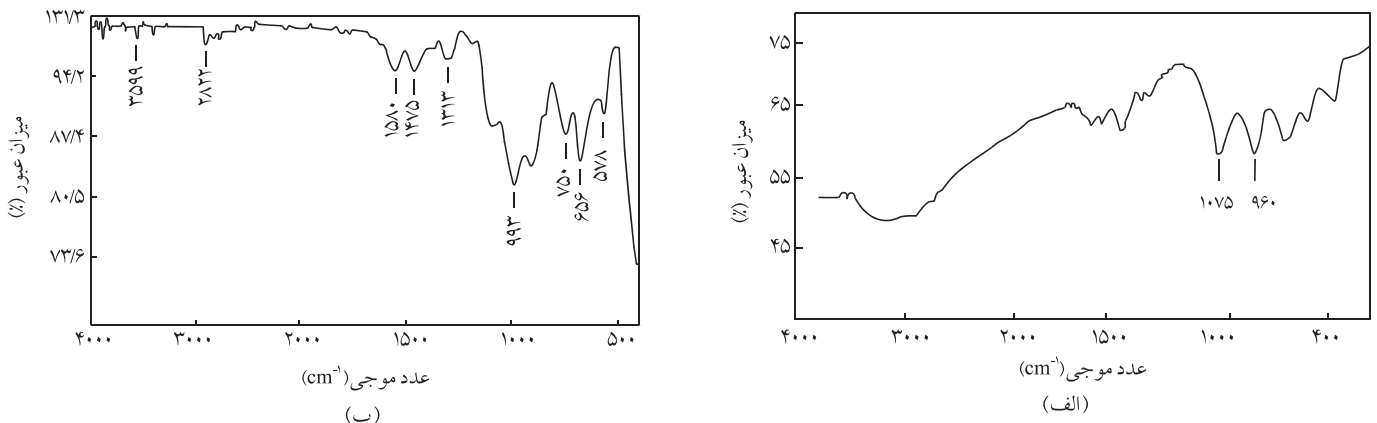
از آنجا که γ_C مقداری برون یابی شده است، ممکن است برای سطح یکسان بسته به مایعات مورد آزمون تغییر کند. بنابراین، برای به حداقل رساندن اختلافات بین مقادیر γ_C بدست آمده، آونز و همکاران انرژی سطحی را به عنوان ترکیبی از دو عامل جزء قطبی (γ^P) و جزء پراکنده (γ^D) در نظر گرفتند:

$$\gamma_C = \gamma^D + \gamma^P \quad (4)$$

رابطه زاویه تماس با انرژی سطحی به شکل زیر بیان می شود:

$$\gamma_{\text{lv}}(1 + \cos(\theta)) = 2(\gamma_S^P \gamma_L^P)^{1/2} + 2(\gamma_S^D \gamma_L^D)^{1/2} \quad (5)$$

بنابراین اجزای انرژی سطحی γ_S^D و γ_S^P را می توان با رسم عرض از مبدأ منحنی بدست آمده در شکل ۲ روش اندازه گیری انرژی سطحی به روش آونز - ویندت برای نمونه چربی گیری شده آمده است و در جدول ۴ مقادیر انرژی سطحی محاسبه شده به این روش برای نمونه های مختلف آورده شده است. چنانچه



شکل ۳ - طیفهای FTIR-ATR سطح آلومینیم (الف): چربی گیری شده و (ب) آماده سازی شده با محلول سیلان.

آزمون برش متقطع

در هر حالت ۳ نمونه مورد آزمایش قرار گرفت. در حالت خشک بجز در نمونه رسوب زدایی شده، در سایر نمونه ها اعم از کرومات دار شده و آماده سازی شده با سیلان چسبندگی خوب و در حد ۵B (ASTM D۳۳۵۹) بوده و در مورد نمونه رسوب زدایی شده چسبندگی در حد ۴B بود. نتایج آزمون برش متقطع در حالت تر در جدول ۵ ارائه شده است. با توجه به نتایج این آزمون ملاحظه می شود که بطور کلی استفاده از سیلان باعث افزایش چسبندگی می شود، اما از آنجا که این آزمون جنبه کیفی دارد برای بدست آوردن نتایج بهتر از آزمون جدایش کششی استفاده می شود.

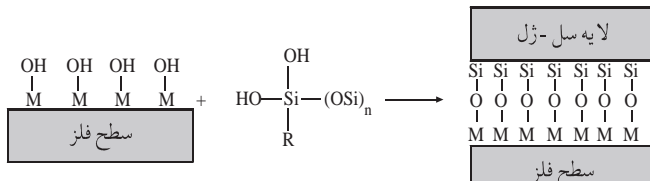
چسبندگی فراهم شده است.

آزمونهای چسبندگی

آزمونهای چسبندگی به دوروش و در شرایط خشک، تر و بازیافتنی انجام گرفت. منظور از چسبندگی خشک، مقدار استحکام چسبندگی پس از اعمال پوشش روی نمونه و چسبندگی تر، استحکام چسبندگی در محیط مرطوب پس از قرار گرفتن نمونه در کابین رطوبت به مدت ۱۰۰۰ ساعت است. چسبندگی بازیافتنی، استحکام چسبندگی پس از قرار گرفتن نمونه در شرایط مرطوب و سپس قرار گرفتن در دسیکاتور به مدت ۴۸ ساعت است و مقدار کاهش استحکام چسبندگی پس از خشک شدن، چسبندگی از دست رفته است.

جدول ۵ - نتایج آزمونهای چسبندگی به روشهای برش متقطع و جدایش کششی در حالت های خشک، تر و بازیافتنی (اعداد داخل پرانتز انحراف معیار مقادیر اندازه گیری شده است).

چسبندگی از دست رفته (%)	جدایش کششی			برش متقطع		آزمون روش آماده سازی
	چسبندگی بازیافتنی (%)	چسبندگی تر (kPa)	چسبندگی خشک (kPa)	چسبندگی تر		
۳۳	۶	۴۳۵/۲ (۹۴/۴)	۶۵۲/۸ (۸۸۴)	۳B		رسوب زدایی شده
۸	۱۳	۱۱۴۲/۲ (۱۹۷/۲)	۱۴۰۰/۸ (۳۴)	۴B		کرومات دار شده
۱۶	۱۴	۱۵۰۹/۶ (۱۵۶/۴)	۱۷۹۵/۲ (۱۰۲)	۴B		محلول ۲ در صد سیلان
۸	۷	۱۳۸۷/۲ (۳۴)	۱۵۰۶/۹ (۱۲۹۷)	۴B		محلول ۱ در صد سیلان
۴۰	۲۹	۸۱۶ (۲۵۸/۴)	۱۳۷۳/۶ (۲۷/۲)	۴B		محلول ۰/۵ در صد سیلان



شکل ۶- پیوندهای احتمالی بین لایه سیلان با زیرآیند.

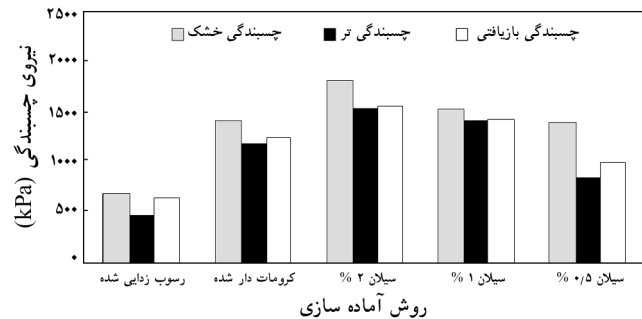
پیوندهای شیمیایی بین لایه سیلان نفوذناپذیر (Si-O-Si) با زیرآیند آلومینیم (Si-O-Al) و پوشش اپوکسی نسبت داد (شکل ۶). پیوندهای کووالانسی ایجاد شده در برابر مولکولهای آب نیز پایدار بوده و آبکافت نمی‌شوند [۱۹، ۲۰].

نتیجه گیری

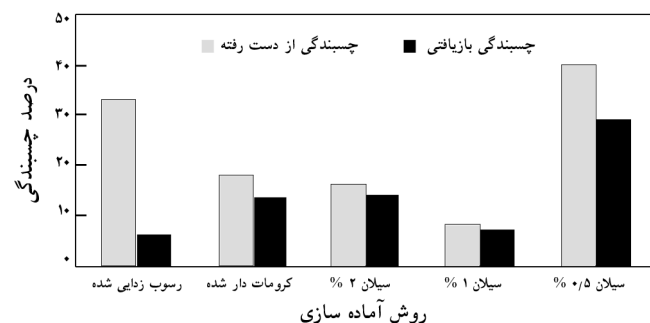
با توجه به نتایج بدست آمده از آزمون تعیین قابلیت ترشدن و طیف سنجی FTIR-ATR می‌توان پیش بینی کرد که آماده‌سازی نمونه‌ها با محلول سیلان، به دلیل وجود گروههای قطبی از قبیل NH_2 روی سطح آلومینیم که به معنای افزایش تماس فیزیکی بین پوشش و زیرآیند است افزایش نسبی در قابلیت ترشدن زیرآیند بوجود می‌آید. افزون بر آن، لایه سیلان می‌تواند پیوند شیمیایی نیز با سطح آلومینیم برقرار کند. به عبارت دیگر، شرط لازم و کافی برای ایجاد استحکام کافی برای چسبندگی فراهم شده است. از سوی دیگر با انتخاب پوشش اپوکسی امکان واکنش بین گروههای NH_2 لایه سیلان و گروههای اپوکسی وجود خواهد داشت. این امر نیز عامل مؤثری در افزایش چسبندگی پوشش به زیرآیند است که نتایج آزمونهای چسبندگی هم این موضوع را تایید می‌کند. از این رو، می‌توان از سیلانها به عنوان یکی از جایگزینهای مناسب سیستمهای کرومات دار شده نام برد.

مراجع

- Wernick S., Pinner R. and Sheasby P. G. , *The Surface Treatment and Finishing of Aluminium and its Alloys*, Finishing, USA, 1987.
- Lorking K. F. and Mayne E.O., The Corrosion of Aluminum, *J. Appl. Chem.*, **11**, 170-176, 1961.
- Brown G. M., Shimizu K., Kobayashi K., Thompson G. E. and Wood G.C., The Development of Chemical Conversion Coatings on Aluminum, *Corr. Sci.*, **35**, 253-256, 1993.
- Dangerous Properties of Industrial Materials*, Sax N.I.(Ed.), Van Nostrand Reinhold, New York, 1979.
- Schram T., Goeminne G., Terryn H., Vanhoolst W. and Van Espen P., Study of Composition of Zirconium Based Chromium Free Conversion Layers on Aluminum, *Trans. I.M. F.*, **73**, 91-96, 1995.
- Funk W., Thin-layer Technology in Organic Coatings, *Prog. Org. Coat.*, **28**, 3-7, 1996.



شکل ۴- چسبندگی نمونه‌های مختلف در حالت‌های خشک، تر و بازیافتنی.



شکل ۵- مقایسه درصد چسبندگی‌های از دست رفته و بازیافتنی.

آزمون جداش کشی

در هر حالت ۵ نمونه مورد آزمایش قرار گرفت که میانگین اعداد بدست آمده در جدول ۵ و شکل ۴ ارائه شده است. همچنین، در جدول ۵ و شکل ۵ نتایج اندازه گیری درصد چسبندگی‌های از دست رفته و بازیافتنی نسبت به حالت خشک ارائه شده است. ملاحظه می‌شود که در حالت استفاده از سیلان به عنوان آستری آماده‌سازی بهبود قابل توجهی در چسبندگی خشک، تر و بازیافتنی نسبت به نمونه رسوب زدایی شده و حتی نمونه کرومات دار شده مشاهده می‌شود. دلیل این امر را می‌توان با توجه به مکانیسمهای عملکرد بهبود دهنده‌های چسبندگی به برقراری

7. Mirabedini S.M., Scantlebury J.D., Thompson G.E. and Moradian S., Polyacrylic Acid as a Surface Pretreatment for 1050 Aluminum Alloys, 2nd International Symposium on Aluminum Surface and Science Technology, UMIST, Manchester, 485-490, 2000.
8. Maege I., Jaehne E., Henke A., Adler H. J. P., Bram C., Jung C., and Stratmann M., Ultrathin Organic Layers for Corrosion Protection, *Macromol. Symp.*, **126**, 7-12, 1997.
9. Buchheit R.G. and Drewne C.A., Non-Chromate Talc Conversion Coatings for Aluminium, 18th DOE Compatibility, Ageing and Service Life Conference, Savannah River, GA, 1993.
10. Melzer J.I.; Chromium Free Aluminum Treatment, *US Pat. 5, 641, 542*, June 24, 1997.
11. Mirabedini S. M., The Role of the Interfacial Layer on the Performance of a Powder Coated Aluminium Alloy, PhD Thesis, UMIST, UK, 2000.
12. Arnott D.R., Ryan N.E., Hinton B. R.W., Sexton B.A. and Hughes A.E., Auger and XPS Studies of Cerium Corrosion Inhibition on 7075 Aluminum, *Appl. Surf. Sci.*, **22**, 236-241, 1985.
13. Schriever M.P., Non Chromate Oxide Coating for Aluminum Substrates, *US Pat. 5,551,994*, 1996.
14. Danilids I., Sykes J.M., Hunter J.A. and Scamans G.M., Manganese Based Corrosion Treatment, *Surf. Eng.*, **15**, 401-407, 1999.
15. Rangel C.M., Simoes A., Newman R.C., The Formation of an Alternative Conversion Coatings for Aluminum in Buffered Molybdate Solutions, *Portugaliae Electrochimica Acta*, **15**, 383-387, 1997.
16. Pearlstein F. and Agarwala V.S., Trivalent Chromium Conversion Coatings for Aluminum, *US Pat. 5,304,257*, 1994.
17. Kachurina O., Metroke T.L., Stesikova E. and Knobbe E.T., Comparison of Single and Multilayer Coatings Based on Ormocil and Conversion Layers for Aluminum Alloy Corrosion Inhibition, *J. Coat. Technol.*, **74**, 43-47, 2002.
18. *Surface Coating-1*, Wilson A.D., Nicholson J.W. and Prosser H.J. (Eds.), Chap. 6, Elsevier, London, 1987.
19. *Structural Adhesive: Developments in Resin and Primers*, Kinloch A.J. (Ed.), Chap. 8, Elsevier, London, 1987.
20. *Silane Coupling Agents*, Pluedemann E.P. (Ed.), Plenum, New York, 1982.
21. Rosen M.R., From Treating Solution to Filler Surface and Beyond, *J. Coat. Technol.*, **50**, 70-76, 1978.
22. Waldman B., Silane Coupling Agents Improve Performance, *Modern Paint Coat.*, **86**, 34-38, 1996.
23. Walker P., Organo Silanes as Adhesion Promoters for Organic Coatings, *J. Coat. Technol.*, **52**, 49-55, 1980.
24. *Adhesion and Adhesive*, Kinloch A. J. (Ed.), Chapman & Hall, UK, 1990.
25. Oosting R., Durability and Performance of Treated Aluminum Substrates, PhD Thesis, Delft University of Technology, The Netherlands, 1995.
26. *Advances in Chemistry Series*, Gould R.F. (Ed.), American Chemical Society, Washington, 1984.
27. Child T. and Van Ooij W.J., Application of Silane Technology to Prevent Corrosion of Metals and Improve Paint Adhesion, *Coat. World*, 42-47, 1999.
28. Boero F.J., Infrared Spectra of Polymers and Coupling Agents Adsorbed onto Oxidized Aluminum, *Polym. Prepr.*, **22**, 297-303, 1981.
29. Boero F.J., Structure and Properties of Silane Primers for Adhesive Bonding of Metals, *Polym. Prepr.*, **24**, 204-210, 1983.